

کنترل سرعت موتور القایی تغذیه شده با مبدل ماتریسی با ولتاژ ورودی نامتعادل

مالک محمد رضایی^(۱) - غلامرضا عرب مارکده^(۲) - آرش دقیقی^(۳) - جعفر سلطانی^(۴)

(۱) کارشناسی ارشد - گروه برق، دانشگاه شهرکرد

(۲) دانشیار - گروه برق، دانشگاه شهرکرد

(۳) استادیار - گروه برق، دانشگاه شهرکرد

(۴) استاد - گروه برق، دانشگاه آزاد اسلامی، واحد خمینی شهر

تاریخ دریافت: زمستان ۱۳۸۸ تاریخ پذیرش: تابستان ۱۳۸۹

خلاصه: مبدل ماتریسی یک مبدل تبدیل انرژی مستقیم با ضریب توان ورودی بالا است. به دلیل این که در مبدل ماتریسی المان ذخیره کننده انرژی وجود ندارد، مشخصه‌های خروجی با اختشاش در ولتاژ ورودی دچار تنزل می‌گردد. مطالعات زیادی به منظور رفع این مشکل انجام شده است. در این مقاله عملکرد مبدل ماتریسی کنترل شده با روش Venturini در شرایط ولتاژ ورودی نامتعادل مورد بررسی قرار می‌گیرد. ولتاژ خروجی مبدل تخمین زده شده و یک روش جبران‌سازی مبتنی بر کنترل PI به منظور حذف اثرات منفی هارمونیک‌های موجود در ولتاژ ورودی پیشنهاد شده است. استفاده از این روش هارمونیک‌های خروجی را کاهش داده و پایداری کنترل ولتاژ و جریان بار را تضمین می‌کند. مبدل ماتریسی برای تغذیه موتور القایی استفاده می‌شود که ولتاژ مرجع برای مبدل بهوسیله یک کنترلر مبتنی بر خطی‌سازی با فیدبک ورودی - خروجی محاسبه می‌گردد. به منظور اثبات نقاط قوت روش جبران‌سازی مطرح شده نتایج شبیه سازی نشان داده است.

کلمات کلیدی: مبدل ماتریسی، روش Venturini، ولتاژ ورودی نامتعادل، جبران‌سازی.

- مقدمه

طرف بار مبدل ماتریسی به دلیل عدم حضور لینک dc تحت تأثیر مستقیم ولتاژ ورودی نامتعادل یا ولتاژ ورودی دارای اختشاش قرار می‌گیرد که باعث ایجاد هارمونیک در جریان می‌شود. در این حالت عملکرد بار نیز دچار مشکل خواهد شد. اگر اثرات نامطلوب ولتاژ ورودی نامتعادل حذف گردد کاربرد این مبدل‌ها افزایش می‌یابد. تحقیقات زیادی به منظور کاهش اثرات ولتاژ نامتعادل ورودی انجام گرفته شده است [۷] - [۱۰].

روش مدولاسیون دو طرفه برای مبدل غیرمستقیم که مبدل ماتریسی را به دو قسمت پکسوکنندگی و اینورتری تقسیم می‌کند. در [۷] مطرح شده است. در این روش تعداد حالات سوئیچ‌زنی کاهش می‌یابد. یک روش جبران‌سازی با تغذیه پیشرو بر پایه اندازه‌گیری لحظه‌ای ولتاژ سه فاز ورودی برای غلبه بر ولتاژ نامتعادل ورودی به کار برده شده است.

در [۸] رفتار درایو موتور القایی با مبدل ماتریسی در شرایط ولتاژ ورودی غیرنرمال، ولتاژ غیرسینوسی و افت ولتاژ کوتاه مدت، مورد بررسی قرار گرفته شده است. از یک روش جبران‌سازی فیدبک مبتنی

مبدل ماتریسی به عنوان یک مبدل ac-ac مستقیم مبدلی بسیار مورد توجه در بین مبدل‌های ac-ac است. مبدل ماتریسی اولین بار در سال ۱۹۷۶ معرفی شد که با مقالات [۱] و [۲] در سال‌های ۱۹۸۰ و ۱۹۸۹ پیشرفت چشمگیری داشته است.

مبدل ماتریسی یک مبدل با کمتواسیون اجباری است که از مجموعه‌ای سوئیچ تک جهته کنترل پذیر ساخته شده و امکان تولید ولتاژ متغیر با فرکانس پیوسته را فراهم می‌کند. مبدل ماتریسی به دلیل توانایی عبور جریان در هر دو جهت و جریان ورودی سینوسی، نسبت به مبدل‌های PWM ارجحیت دارد [۳], [۴]. مبدل ماتریسی دارای مزایای زیر است [۵], [۶]:

- جریان ورودی و خروجی سینوسی
- عدم نیاز به المانهای بزرگ لینک dc
- عملکرد چهار ناحیه‌ای
- طراحی ساده و فشرده

مبدل ماتریسی یک تغییردهنده نامحدود فرکانس است که می‌تواند خروجی با فرکانس بیشتر یا کمتر از فرکانس منبع ولتاژ متصل به مبدل را تولید کند. ولتاژ خروجی از ترکیب ولتاژهای ورودی به دست می‌آید. عملکرد هر سوئیچ در هر لحظه با رابطه (۱) تعریف می‌شود:

$$S_{kj}(t) = \begin{cases} 0 & S_{kj} \text{ is opened} \\ 1 & S_{kj} \text{ is closed} \end{cases} \quad (1)$$

هر سوئیچ S_{kj} ($K = A, B, C, j = a, b, c$) در هر لحظه یک فاز از K را به یک فاز از j متصل می‌کند.

در کنترل مبدل ماتریسی همواره باید دو اصل مهم رعایت گردد: (۱) به دلیل این که مبدل ماتریسی با منبع ولتاژ تغذیه می‌گردد هیچ‌گاه نباید یک فاز از خروجی همزمان به دو فاز از ورودی وصل شود. (۲) به دلیل این که مسیری برای عبور جریان القابی وجود ندارد فازهای خروجی نباید مدار باز شوند زیرا سبب افزایش ناگهانی ولتاژ می‌شوند.

محدودیت‌های فوق توسط رابطه (۲) بیان می‌شوند:

$$S_{Aj} + S_{Bj} + S_{Cj} = 1 \quad j = a, b, c \quad (2)$$

با توجه به رابطه فوق ۲۷ حالت سوئیچ زنی برای مبدل ماتریسی 3×3 در نظر گرفته می‌شود.

۲- کنترل مبدل ماتریسی با روش Venturini

در سال ۱۹۸۰ یک روش مدولاسیون PWM برای مبدل ماتریسی مطرح گردید که به روش Venturini یا روش تابع تبدیل مستقیم معروف است.

در شرایط ایده‌آل ولتاژ ورودی سه فاز سینوسی تغذیه کننده مبدل ماتریسی با رابطه (۳) بیان می‌شود.

$$\begin{bmatrix} V_A \\ V_B \\ V_C \end{bmatrix} = V_{im} \begin{bmatrix} \cos(\omega_i t) \\ \cos(\omega_i t + \frac{2\pi}{3}) \\ \cos(\omega_i t + \frac{4\pi}{3}) \end{bmatrix} \quad (3)$$

ولتاژ سه فاز خروجی مطلوب توسط رابطه (۴) مطرح می‌گردد.

$$\begin{bmatrix} V_a \\ V_b \\ V_c \end{bmatrix} = V_{om} \begin{bmatrix} \cos(\omega_o t) \\ \cos(\omega_o t + \frac{2\pi}{3}) \\ \cos(\omega_o t + \frac{4\pi}{3}) \end{bmatrix} \quad (4)$$

در روابط فوق V_{im} و V_{om} دامنه ولتاژهای ورودی و خروجی و ω_i و ω_o فرکانس زاویه‌ای ورودی و خروجی را نشان می‌دهند.

نسبت انتقال یا نسبت ولتاژ خروجی به ورودی با رابطه (۵) بیان می‌شود.

$$q = \frac{V_{om}}{V_{im}} \quad (5)$$

بر کنترل حلقه بسته جریان خروجی برای بهبود خروجی مبدل استفاده شده است. همچنین از یک جریان‌ساز تغذیه پیشرو برای اندازه‌گیری لحظه‌ای ولتاژ ورودی به منظور تضمین عملکرد درایو در شرایط غیرنرمال استفاده شده است.

عملکرد مبدل ماتریسی پل دوبل تحت منبع ولتاژ دارای افتشاش در [۹] بررسی شده است. برای کاهش اثرات ولتاژ نامتعادل در بار یک کنترلر تغذیه پیشرو به کار برد شده است. در ابتدا مولفه اصلی ولتاژ ورودی محاسبه می‌گردد، سپس سوئیچ زنی مناسب در مبدل طرف منبع اعمال می‌شود تا هارمونیک‌های خروجی را کاهش دهد.

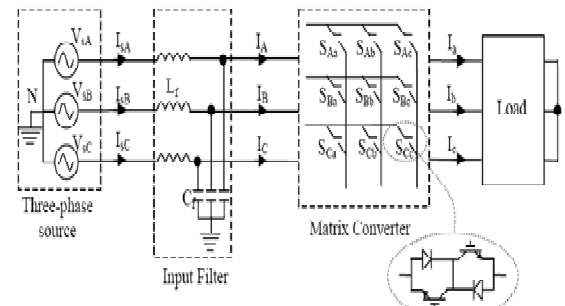
یک روش جبران‌سازی مبتنی بر کنترلر PI که با کنترل حلقه بسته جریان خروجی کار می‌کند در [۱۰] پیشنهاد شده است. در این روش اندازه جریان خروجی با اندازه مطلوب مقایسه می‌گردد.

در روش‌های فوق به جریان مرجع خروجی برای محاسبات کنترلر نیاز می‌باشد که در صورتی که امپدانس با تغییر کند، جریان مرجع نیز تغییر می‌کند. استفاده از سنسور برای اندازه‌گیری جریان و ولتاژ خروجی مبدل را افزایش می‌دهد. در این تحقیق هارمونیک‌های ولتاژ خروجی کنترل می‌شود که باعث استقلال روش از تغییرات بار می‌گردد.

در این مقاله یک روش جبران‌سازی جدید برای حذف اثرات نامطلوب ناشی از ولتاژ نامتعادل ورودی در مبدل ماتریسی کنترل شده با روش Venturini مطرح شده است. ولتاژ سه فاز خروجی تخمین زده می‌شود و با مقدار مطلوب مقایسه می‌گردد. نتایج شبیه‌سازی به منظور اثبات فواید روش نشان داده شده است.

۲- ساختار مبدل ماتریسی

مبدل ماتریسی، یک مبدل تک مرحله‌ای است که از برداری $m \times n$ از سوئیچ‌های دو جهته تشکیل شده است که یک فاز ورودی را به یک فاز خروجی وصل می‌کنند. از نظر عملی تعداد فازهای ورودی، m ، باید حداقل سه باشد ولی تعداد فازهای خروجی، n ، می‌تواند از یک تا بی‌نهایت باشد. ساختار یک مبدل ماتریسی پایه که منبع ولتاژ سه فاز را به بار سه فاز وصل می‌کند در شکل (۱) نشان داده شده است.

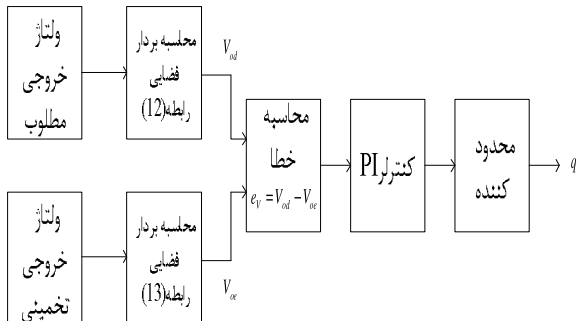


شکل (۱): مبدل ماتریسی سه فاز
Fig. (1): The three phase matrix converter

۴- روش جبران‌سازی ورودی نامتعادل

الگوریتم مدولاسیون به کار برده شده در مبدل ماتریسی برای ولتاژ ورودی سینوسی از یک الگوی کلیدزنی ثابت استفاده می‌کند. برای فرکانس یا دامنه مشخص، زمان عملکرد هر سوئیچ محاسبه می‌شود و به سوئیچ فرمان داده می‌شود. اما زمانی که ولتاژ ورودی نامتعادل باشد استفاده از الگوی کلیدزنی ثابت مناسب نمی‌باشد. بنابراین زمان عملکرد هر سوئیچ باید به صورت لحظه‌ای محاسبه گردد، که برای این منظور ولتاژ خروجی تخمین زده می‌شود.

شکل (۲) بلوک دیاگرام محاسبه زمان عملکرد سوئیچ‌ها را نشان می‌دهد.



شکل (۲): بلوک دیاگرام محاسبه q
Fig. (2): The block diagram for q calculations

اندازه بردار فضایی ولتاژ خروجی مطلوب و ولتاژ خروجی تخمین زده شده از طریق روابط (۱۲) و (۱۳) محاسبه می‌گردد.

$$V_{0d} = \sqrt{\frac{2}{3}(V_a^2 + V_b^2 + V_c^2)} \quad (12)$$

$$V_{0e} = \sqrt{\frac{2}{3}(V_{ae}^2 + V_{be}^2 + V_{ce}^2)} \quad (13)$$

زیر نویس‌های d و e نمایش دهنده مقادیر مطلوب و تخمین زده شده می‌باشد. اگر ورودی سینوسی باشد، خروجی نیز سینوسی می‌شود که در این حالت V_{0e} مقداری ثابت خواهد داشت. اگر ولتاژ ورودی غیرسینوسی یا نامتعادل باشد مقدار V_{0e} غیر ثابت خواهد شد. بنابراین برای اینکه V_{0e} به V_{0d} نزدیک شود از یک کنترلر PI برای محاسبه نسبت ولتاژ خروجی به ولتاژ ورودی استفاده می‌شود. همچنین به منظور جلوگیری از تجاوز مقدار q از حد مجاز یک محدود کننده در خروجی PI استفاده می‌شود.

باید به این نکته توجه شود که تخمین ولتاژ سه فاز خروجی بدون سنسور اندازه‌گیری ولتاژ انجام می‌شود. برای این منظور از رابطه (۷) در واحد پردازش استفاده می‌شود.

در روش مطرح شده در [۱۰] در هر لحظه جریان خروجی با جریان مرجع مقایسه می‌گردد و از خطای حاصله در PI استفاده می‌شود که هرگاه که بار خروجی تغییر کند باید مقدار جریان مرجع مجدداً محاسبه گردد. اما در روش مطرح شده در این مقاله از ولتاژ مطلوب خروجی و ولتاژ خروجی تخمین زده شده استفاده می‌شود که ولتاژ

در حالت کلی حداکثر مقدار $q = 0.5$ می‌باشد که جهت افزایش این مقدار باید هارمونیک سوم فرکانس‌های ورودی و خروجی به ولتاژ خروجی مطلوب اضافه و کم شود. رابطه (۶) ولتاژ خروجی مطلوب برای کسب حداکثر q را نشان می‌دهد.

$$\begin{bmatrix} V_a \\ V_b \\ V_c \end{bmatrix} = q \cdot V_{im} \begin{bmatrix} \cos(\omega_0 t) \\ \cos(\omega_0 t + \frac{2\pi}{3}) \\ \cos(\omega_0 t + \frac{4\pi}{3}) \end{bmatrix} - \frac{1}{6} \cdot q \cdot V_{im} \begin{bmatrix} \cos(3\omega_0 t) \\ \cos(3\omega_0 t) \\ \cos(3\omega_0 t) \end{bmatrix} + \frac{1}{4} \cdot V_{im} \begin{bmatrix} \cos(3\omega_i t) \\ \cos(3\omega_i t) \\ \cos(3\omega_i t) \end{bmatrix} \quad (6)$$

در این حالت مقدار $q = 0.866$ می‌باشد که حداکثر نسبت انتقال در مبدل ماتریسی می‌باشد.

در این روش مدت زمان خاموش و روشن بودن هر یک از نه سوئیچ دو جهته محاسبه می‌گردد. ولتاژ خروجی با نمونه برداری از ولتاژ ورودی ساخته می‌شود که ولتاژ مرجع تعريف شده را در دنبال می‌کند. در این حالت وقتی که بار به خروجی متصل باشد جریان ورودی با دامنه I_i ، همفاز با ولتاژ ورودی با فرکانس زاویه‌ای ω_i خواهد شد.

ارتباط بین ولتاژ ورودی و خروجی و جریان ورودی و خروجی را می‌توان با روابط (۷) و (۸) بیان کرد.

$$\begin{bmatrix} V_a \\ V_b \\ V_c \end{bmatrix} = \begin{bmatrix} m_{Aa}(t) & m_{Ba}(t) & m_{Ca}(t) \\ m_{Ab}(t) & m_{Bb}(t) & m_{Cb}(t) \\ m_{Ac}(t) & m_{Bc}(t) & m_{Cc}(t) \end{bmatrix} \begin{bmatrix} V_A \\ V_B \\ V_C \end{bmatrix} \quad (7)$$

$$\begin{bmatrix} I_A \\ I_B \\ I_C \end{bmatrix} = \begin{bmatrix} m_{Aa}(t) & m_{Ab}(t) & m_{Ac}(t) \\ m_{Ba}(t) & m_{Bb}(t) & m_{Bc}(t) \\ m_{Ca}(t) & m_{Cb}(t) & m_{Cc}(t) \end{bmatrix} \begin{bmatrix} I_a \\ I_b \\ I_c \end{bmatrix} \quad (8)$$

در هر زمان t ، $0 \leq m_{kj} \leq 1$ و

$$\sum_{j=a,b,c} m_{kj} = 1 \quad (K = A, B, C) \quad (9)$$

در روش Venturini باید ضریب توان ورودی واحد باشد [۲، ۵]. برای این منظور از رابطه (۱۰) استفاده می‌شود [۳].

$$m_{kj} = \frac{1}{3} \left[1 + \frac{2V_k V_j}{V_{im}^2} + \frac{2q}{3q_m} \sin(\omega_i t + \beta_k) \sin(3\omega_i t) \right] \quad (10)$$

$$K = \{A, B, C\}, j = \{a, b, c\}, \beta_k = 0, \frac{2\pi}{3}, \frac{4\pi}{3}$$

بنابراین زمان قطع و وصل هر سوئیچ توسط رابطه (۱۱) محاسبه می‌گردد.

$$t_{kj} = \frac{T_s}{3} \left[1 + \frac{2V_k V_j}{V_{im}^2} + \frac{2q}{3q_m} \sin(\omega_i t + \beta_k) \sin(3\omega_i t) \right] \quad (11)$$

در رابطه فوق t_{kj} ، مدت زمان اتصال

فاز خروجی j به فاز ورودی K را مشخص می‌کند.

محاسبه میگردد و سپس با استفاده از شار روتور، شار استاتور محاسبه میشود.

خروجی های کنترلر به صورت زیر تعریف میگردد.

$$h_1 = T_e = \frac{3P}{2} (\lambda_{ds} i_{qs} - \lambda_{qs} i_{ds}) \quad (17)$$

$$h_2 = |h_s|^2 = (\lambda_{ds}^2 + \lambda_{qs}^2) \quad (18)$$

خطای خروجی کنترلر به صورت زیر خواهد بود.

$$y_1 = h_1 - T_{ref} \quad (19)$$

$$y_2 = h_2 - |\lambda_s|_{ref}^2$$

با استفاده از روابط (۱۴) و (۱۹)، دینامیک موتور القایی به صورت رابطه (۲۰) به دست میآید.

$$\begin{bmatrix} \dot{y}_1 \\ \dot{y}_2 \end{bmatrix} = \begin{bmatrix} L_f y_1 \\ L_f y_2 \end{bmatrix} + D(x) \begin{bmatrix} v_{ds} \\ v_{qs} \end{bmatrix} \quad (20)$$

که در رابطه فوق

$$D(x) = \begin{bmatrix} L_g y_1 & L_g y_2 \\ L_g y_2 & L_g y_1 \end{bmatrix}$$

$$L_f y_1 = \frac{3P}{2} \left(\frac{R_s + \alpha L_s}{\sigma} (x_1 x_4 - x_2 x_3) + \omega_r (x_1 x_3 + x_2 x_4) - \frac{\omega_r}{\sigma} (x_3^2 + x_4^2) \right)$$

$$L_f y_2 = -2R_s (x_1 x_3 + x_2 x_4) \quad (21)$$

$$L_g y_1 = \frac{3P}{2} \left(x_2 - \frac{x_4}{\sigma} \right), L_g y_2 = \frac{-3P}{2} \left(x_1 - \frac{x_3}{\sigma} \right)$$

$$L_g y_1 = 2x_3, L_g y_2 = 2x_4$$

که L_f مشتق لی تابع $\phi(x)$ در راستای بردار $f(x) = [f_1(x), f_2(x), \dots, f_n(x)]^T$ میباشد و به صورت زیر محاسبه میشود.

$$L_f \phi = \sum_{i=1}^n \frac{\partial \phi}{\partial x_i} f_i(x) \quad (22)$$

دترمینان $D(x)$ با رابطه زیر به دست میآید.

$$\det(D) = 3P \left[(x_2 x_4 + x_1 x_3) - \frac{1}{\sigma} (x_3^2 + x_4^2) \right] \quad (23)$$

با استفاده از معادلات موتور در دستگاه ساکن میتوان ارتباط بین مولفه های دو محوری شار مغناطیسی روتور با مولفه های نظیر در استاتور را به دست آورد.

$$\lambda_{dr} = \frac{L_r}{L_m} (x_3 - \sigma x_1) \quad (24)$$

$$\lambda_{qr} = \frac{L_r}{L_m} (x_4 - \sigma x_2)$$

با استفاده از روابط (۲۳) و (۲۴) داریم:

$$\det(D) = \frac{-3L_m}{\sigma L_r} \cdot P \cdot (\lambda_{dr} x_3 + \lambda_{qr} x_4) \quad (25)$$

$$= \frac{-3L_m}{\sigma L_r} \cdot P \cdot (\lambda_r^T \lambda_s^T) = \frac{-3L_m}{\sigma L_r} \cdot P \cdot |\lambda_r| |\lambda_s| \cos(\lambda_r, \lambda_s)$$

که در رابطه بالا $\lambda_r = |\lambda_{dr}, \lambda_{qr}|^T$ و $\lambda_s = |\lambda_{ds}, \lambda_{qs}|^T$ هستند.

چون حاصلضرب داخلی بردارهای شار استاتور و شار روتور از نظر فیزیکی غیر صفر است، بر اساس رابطه (۲۵) ماتریس $D(x)$ یک ماتریس ناویزه است و اگر قانون کنترل سیستم فوق به صورت رابطه

مطلوب با تغییر بار تغییر نمیکند و همانگونه که قبل ذکر شد برای محاسبه ولتاژ تخمینی نیازی به سنسور اندازه گیری نمیباشد که این مطلب از نقاط قوت این روش میباشد.

۵- مدل موتور القایی

با فرض خطی بودن مدار مغناطیسی و صرفنظر کردن از تلفات آهن، مدل دینامیکی یک موتور القایی سه فاز در مختصات ساکن با در نظر گرفتن جریانها و شارهای دو محوری استاتور به عنوان متغیرهای حالت و ولتاژهای دو محوری استاتور به عنوان ورودی به صورت زیر بیان میشود [۱۱].

$$\dot{x} = f(x) + g_1(x).v_{ds} + g_2(x).v_{qs}$$

$$f(x) = \begin{bmatrix} -\left(\frac{R_s}{\sigma} + \frac{\alpha L_s}{\sigma}\right)i_{ds} - \omega_r i_{qs} + \frac{\alpha}{\sigma} \lambda_{ds} + \frac{\omega_r}{\sigma} \lambda_{qs} \\ -\left(\frac{R_s}{\sigma} + \frac{\alpha L_s}{\sigma}\right)i_{qs} - \omega_r i_{ds} + \frac{\alpha}{\sigma} \lambda_{qs} + \frac{\omega_r}{\sigma} \lambda_{ds} \\ -R_s i_{ds} \\ -R_s i_{qs} \end{bmatrix}$$

$$g_1 = \begin{bmatrix} 0 \\ \frac{1}{\sigma} \\ 0 \\ 1 \end{bmatrix}, g_2 = \begin{bmatrix} 1 \\ 0 \\ 1 \\ 0 \end{bmatrix}, \alpha = \frac{R_r}{L_r} \quad (14)$$

در رابطه فوق ضریب نشتی، $\sigma = L_s \left(1 - \frac{L_m^2}{L_s L_r} \right)$ به ترتیب شار استاتور، جریان استاتور و ولتاژ استاتور هستند. R_s مقاومت استاتور و L_s اندوکتانس استاتور و R_r مقاومت روتور و L_r اندوکتانس روتور میباشند. L_m راکتانس مغناطیسی موتور و ω_r سرعت زاویه ای الکتریکی روتور هستند. معادله مکانیکی موتور به صورت رابطه (۱۵) میباشد.

$$\frac{d}{dt} \omega_m = \frac{T_e}{J_m} - \frac{T_L}{J_m} - \frac{B_f}{J_m} \cdot \omega_m \quad (15)$$

ω_m سرعت زاویه ای مکانیکی روتور، T_L گشتاور بار، T_e گشتاور الکترومغناطیسی موتور، J_m ممان اینترسی و B_f ضریب چسبندگی موتور میباشند. اگر P تعداد زوج قطب باشد رابطه $\omega_r = P \cdot \omega_m$ بین سرعت مکانیکی و سرعت الکتریکی برقرار است.

گشتاور الکترومغناطیسی موتور با استفاده از رابطه (۱۶) محاسبه میگردد.

$$T_e = \frac{3P}{2} (\lambda_{ds} i_{qs} - \lambda_{qs} i_{ds}) \quad (16)$$

۶- کنترلر خطی سازی با فیدبک ورودی- خروجی

در این کنترلر اندازه شار استاتور و گشتاور موتور به عنوان خروجی های کنترلر و جریان استاتور به عنوان حالت قابل اندازه گیری در نظر گرفته میشود [۱۱]. در ابتدا با جریان خروجی اندازه گیری شده، شار روتور

Table (1): The parameters of the induction motor
جدول (۱): پارامترهای موتور القایی

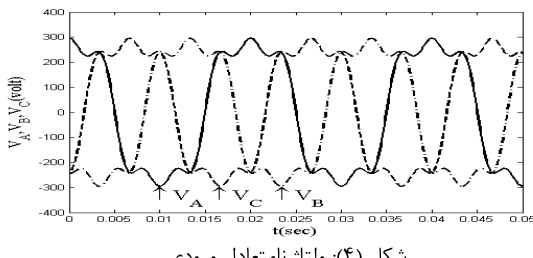
$R_f = 1.8 \Omega$	$R_s = 3.55 \Omega$
$L_{fr} = 10.04 \text{ mH}$	$L_{ls} = 10.04 \text{ mH}$
$L_m = 300 \text{ mH}$	$J_m = 0.03 \text{ Kgm}^2$
$P = 4$	$f = 50 \text{ Hz}$

$$\begin{bmatrix} V_A \\ V_B \\ V_C \end{bmatrix} = V_{im} \begin{bmatrix} \cos(\omega_i t) \\ \cos(\omega_i t + \frac{2\pi}{3}) \\ \cos(\omega_i t + \frac{4\pi}{3}) \end{bmatrix}$$

$$-0.2 \times V_{im} \begin{bmatrix} \cos 3(\omega_i t) \\ \cos 3(\omega_i t + \frac{2\pi}{3}) \\ \cos 3(\omega_i t + \frac{4\pi}{3}) \end{bmatrix} + 0.15 \times V_{im} \begin{bmatrix} \cos 5(\omega_i t) \\ \cos 5(\omega_i t + \frac{2\pi}{3}) \\ \cos 5(\omega_i t + \frac{4\pi}{3}) \end{bmatrix} \quad (29)$$

پارامترهای مبدل ماتریسی استفاده شده در جدول (۲) نشان داده شده است.

نتایج شبیه‌سازی به ازای تغییر در سرعت مرتع در شکل (۵) نشان داده شده است. در ابتدا موتور از حالت سکون راهاندازی می‌شود. سپس در زمان ۵ ثانیه سرعت موتور ۲ برابر می‌شود و در زمان ۱۰ ثانیه مجدداً سرعت کاهش می‌یابد.



شکل (۴): ولتاژ نامتعادل ورودی

Fig. (4): The unbalance input voltage

Table (2): The parameters of the matrix converter
جدول (۲): پارامترهای مبدل ماتریسی

Source voltage amplitude, V_{im}	311 V
Input frequency, f_i	50 Hz
Input filter resistance, R_f	0/1 Ω
Input filter inductance, L_f	1 mH
Input filter capacitance, C_f	15 μF
Switching frequency, f_s	10 kHz

(۲۶) در نظر گرفته شود سیستم غیرخطی (۲۰) به سیستم خطی (۲۷) تبدیل می‌شود.

$$\begin{bmatrix} v_{ds} \\ v_{qs} \end{bmatrix} = D^{-1}(x) \cdot \begin{bmatrix} -L_f y_1 \\ -L_f y_2 \end{bmatrix} + \begin{bmatrix} v_a \\ v_b \end{bmatrix} \quad (26)$$

$$\begin{bmatrix} \dot{y}_1 \\ \dot{y}_2 \end{bmatrix} = \begin{bmatrix} v_a \\ v_b \end{bmatrix} \quad (27)$$

در روابط بالا v_a و v_b ورودی‌های کنترلی کمکی هستند که برای این‌که مقادیر مطلوب $T_{eref}(t)$ و $|\lambda_s|_{ref}^2(t)$ دنبال شوند باید به صورت زیر در نظر گرفته شوند.

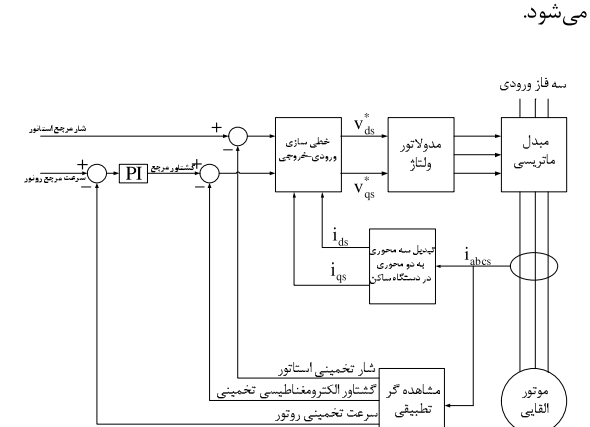
$$v_a = -k_a \cdot (y_1 - T_{eref}(t)) + \dot{T}_{eref}(t) \quad (28)$$

$$v_b = -k_b \cdot (y_2 - |\lambda_s|_{ref}^2(t)) + |\lambda_s|_{ref}^2(t) \quad (29)$$

ثابت‌های k_a و k_b به صورتی انتخاب می‌شوند که خطاهای گشتاور و اندازه شار به صورت نمایی به سمت صفر میل کنند.

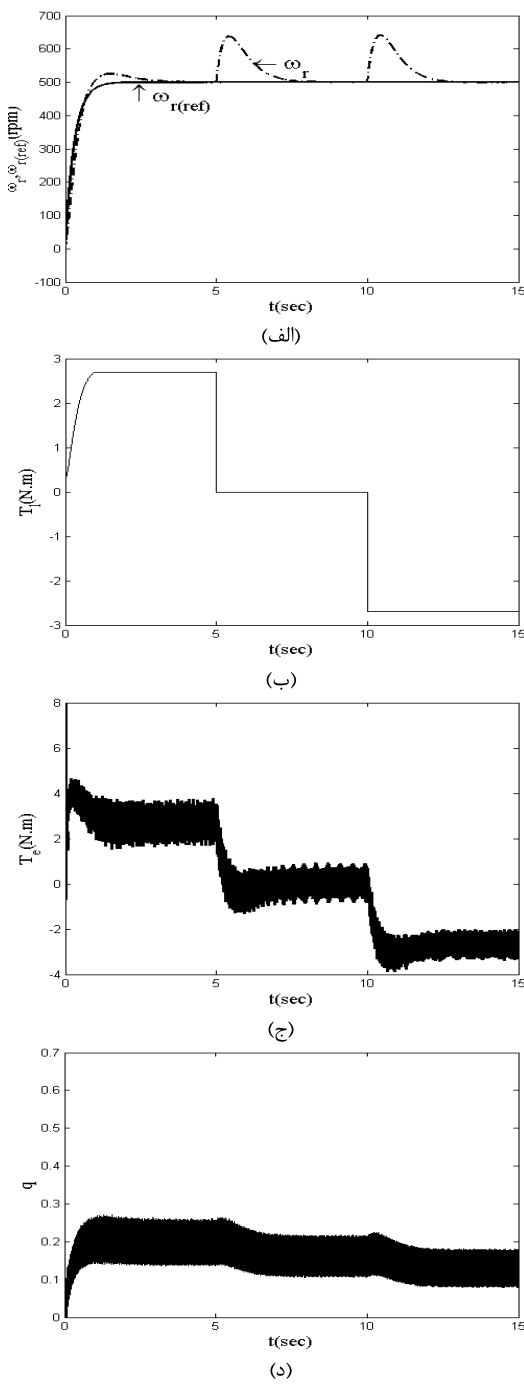
۷- نتایج شبیه‌سازی

برنامه C++ برای شبیه‌سازی بلوک دیاگرام نشان داده شده در شکل (۳) استفاده شده است. برای حل معادلات ماشین از رانچ کوتای مرتبه ۴ استفاده شده است. نتایج شبیه‌سازی برای موتور القایی سه فاز قفس سنجابی 2.5Kw با پارامترهای نشان داده شده در جدول (۱)، آورده شده است. در این شبیه‌سازی در موتور از پارامترهای واقعی و در کنترل خطی‌سازی با فیدبک از پارامترهای تخمینی و متغیرهای حالت مشاهده شده استفاده می‌شود. گشتاور بار به صورت تابعی از سرعت روتور تعریف می‌شود.



شکل (۳): بلوک دیاگرام کنترل موتور القایی تغذیه شده با مبدل ماتریسی
Fig. (3): The block diagram of the induction motor control energized by the matrix converter

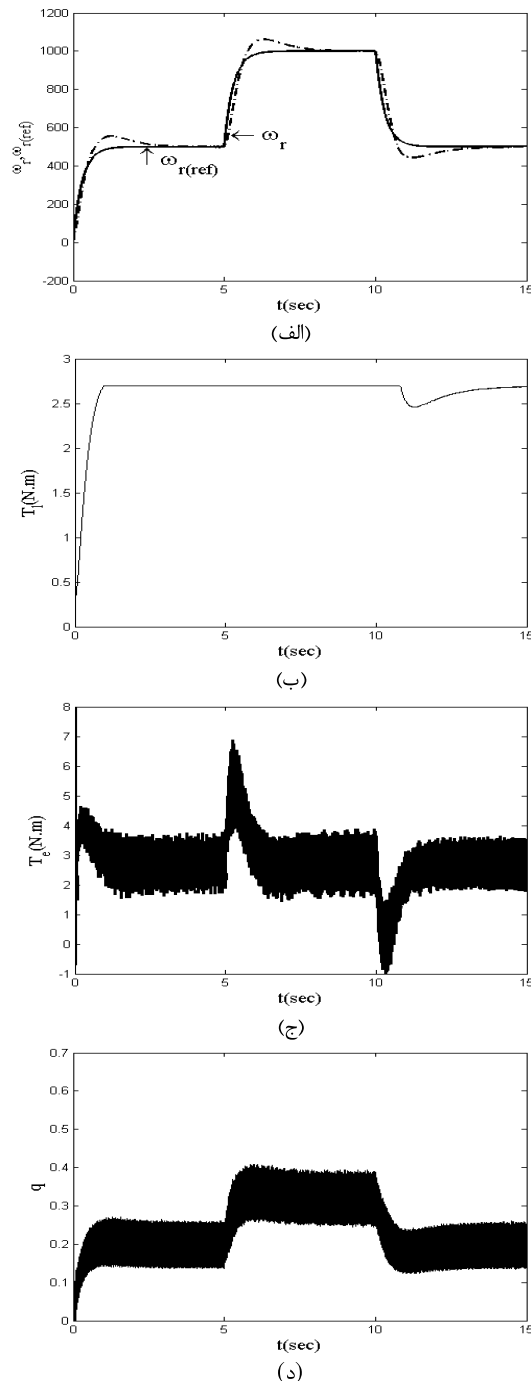
برای تعذیه موتور از مبدل ماتریسی سه فاز کنترل شده با روش Venturini با ورودی نامتعادل که با رابطه (۲۹) مشخص شده و در شکل (۴) نشان داده شده است، استفاده می‌شود.



شکل (۶): (الف) سرعت روتور (ب) گشتاور بار (ج) گشتاور الکترومغناطیسی (د) نسبت تبدیل خروجی به ورودی مبدل ماتریسی

Fig. (6): (a) The rotor speed, (b) The load torque, (c) The electromagnetic torque, (d) The conversion ratio of the output to the input matrix converter

۸-نتیجه‌گیری
 در این مقاله یک روش جدید برای کنترل مبدل ماتریسی تغذیه شده با منبع ولتاژ نامتعادل مطرح شده است. در این روش نسبت ولتاژ استفاده شده در روش کلیدزنی Venturini با استفاده از یک کنترلر



شکل (۵): (الف) سرعت روتور (ب) گشتاور بار (ج) گشتاور الکترومغناطیسی (د) نسبت تبدیل خروجی به ورودی مبدل ماتریسی

Fig. (5): (a) The motor speed (b) The load torque, (c) The electromagnetic torque, (d) The conversion ratio of the output to the input matrix converter

در شکل (۶) خروجی‌های شبیه‌سازی به ازای تغییر در گشتاور بار مشاهده می‌شود که بار در ابتدا به صورت نمایی افزایش می‌یابد و سپس به صورت پله‌ای کاهش می‌یابد. مشاهده می‌شود که با تغییر گشتاور بار، سرعت موتور همچنان سرعت مرتع را دنبال می‌کند.

خطی‌سازی با فیدبک ورودی - خروجی که با مقادیر تخمینی موتور کار می‌کند محاسبه می‌شود. نتایج شبیه‌سازی برای اثبات موثر بودن روش نشان داده شده است.

PI محاسبه می‌شود. با استفاده از کنترلر PI مقدار ولتاژ خروجی تخمینی به مقدار مطلوب نزدیک می‌شود. در این روش هیچگونه سنسور ولتاژ خروجی به کار برده نمی‌شود. بنابراین این روش مستقل از بار می‌باشد. ولتاژ مطلوب برای مبدل ماتریسی توسط یک کنترلر

مراجع

- [1] M. Venturini, "A new sine wave in sine wave out, conversion technique which eliminates reactive elements", IEEE/POWERCON, pp.447-454, 1980.
- [2] A. Alesina, M. Venturini, "Analysis and design of optimum-amplitude nine switch direct AC-AC converters", IEEE Tran. Pow. Elec., Vol.4, No.1, pp.101-112, 1989.
- [3] S. Kim, S.K. Sul, T.A. Lipo, "AC/AC power conversion based on matrix converter topology with unidirectional switches", IEEE Trans. Ind. Appl., Vol.36, No.2, pp.139-145, 2000.
- [4] D. Casadei, G. Serra, A. Tani, L. Zarri, "Matrix converter modulation strategies: A new general approach based on space vector representation of the switch state", IEEE Trans. Ind. Elec., Vol.49, No.2, pp.370-381, 2002.
- [5] P.W. Wheeler, J. Rodriguez, J.C. Clare, et al, "Matrix converters: A technology review", IEEE Trans. Ind. Elec., Vol.49, No.2, pp.276-288, 2002.
- [6] D. Casadei, G. Serra, A. Tani, "Reduction of the input current harmonic content in matrix converters under input /output unbalance", IEEE Trans. Ind. Elec., Vol.45, No.3, pp.401-409, 1998.
- [7] P. Nielsen, F. Blaabjerg, J.K. Pedersen, "Space vector modulated matrix converter with minimized number of switchings and a feedforward compensation of input voltage unbalance", IEEE/PED, pp.833-839, 1996.
- [8] K. Sun, D. Zhou, L. Huang, K. Matsuse, "Compensation control of matrix converter fed induction motor drive under abnormal input voltage conditions", IEEE/IAS, pp.623-630, 2004.
- [9] L. Wei, Y. Matsushita, T.A. Lipo, "A compensation method for dual-bridge matrix converters operation under distorted source voltages", IEEE / IECON, Vol.3, pp.2078-2084, Nov. 2003.
- [10] H. Karaca, R. Akkaya, "Control of venturini method based matrix converter in input voltage variations", IMECS, Hong Kong, March 2009.
- [11] J. Soltani, GR. Arab Markadeh, S.H. Hosseiny, "A new adaptive direct torque control (DTC) scheme based-on SVM for adjustable speed sensorless induction motor drive", IEEE / IECON, Vol.2, pp.1111-1116, Nov. 2004.